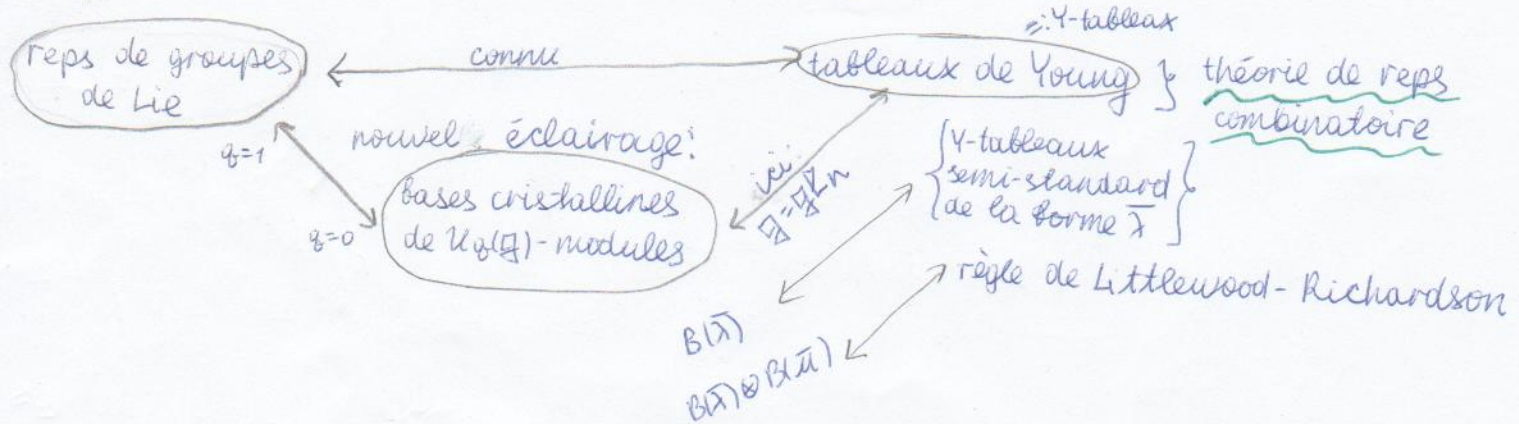


BASES CRYSTALLINES POUR $U_q(\mathfrak{gl}_n)$

Victoria
LEBED

ET TABLEAUX DE YOUNG



Rmq: Pour d'autres \mathfrak{g} semi-simples / affines, il faut regarder les Y -tableaux avec une condition supplémentaire, ou bien les murs de Young.

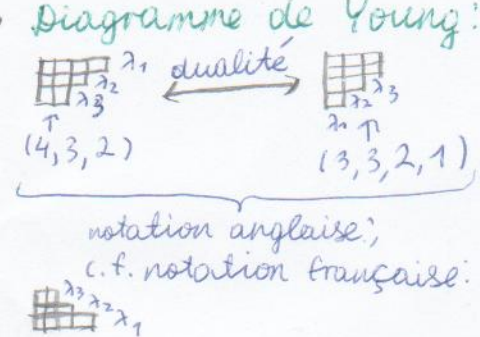
- [PLAN]
- (1) Théorie de reps combinatoire: introduction.
 - (2) Catégorie $\mathcal{O}_{\text{int}}^{\geq 0}(\mathfrak{gl}_n)$.
 - (3) Bases cristallines de $U_q(\mathfrak{g})$ -modules "lues" dans les Y -tableaux.
 - (4) \otimes : règle de Littlewood-Richardson.

① Le monde de Young \rightarrow intro^b

Fixons un $n \in \mathbb{N}$.

Partition de n \rightarrow Diagramme de Young:

$m = \lambda_1 + \dots + \lambda_K$,
 $\lambda_1 \geq \lambda_2 \geq \dots \geq \lambda_K > 0$;
 on note $\lambda \vdash m$.



Y-diagramme gauche:

$\lambda \vdash \mu$, où $\mu \leq \lambda$ sont Y-diagrammes.

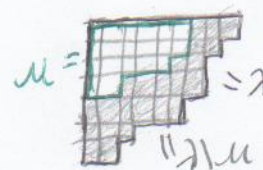


Tableau de Young
de forme λ :
diagramme rempli
de nombres $\in \{1, 2, \dots, n\}$

$$\begin{array}{ccc} 1 & 3 & 3 \\ 2 & 4 \end{array} = T$$

$$wt(T) = E_1 + E_2 + 2E_3 + E_4$$

Y-tableau semi-standard:

- les lignes croissent
- les colonnes croissent strictement

Applications:

- Rep($S_{n,1}$)
- Rep(G_{L_n}), Rep(SL_n), Rep(Sp_{2n})
- Rep(\mathfrak{g}), où \mathfrak{g} est une algèbre de Lie)
- Rep des algèbres de Hecke

4) fonctions de Schur

5) calcul de Schubert sur les Grassmanniennes
& variétés de drapeau

Écritures:

- japonaise ABC 四田田田
- arabe \leftarrow 四田田田

$$\begin{array}{cc} 1 & 2 \\ 3 & 4 \end{array}$$

admissibles



i.e. respecte l'ordre donné par les diagonales:



cases "ajoutables"
cases "retirables"

② Le monde des groupes linéaires.

A) Rappels sur $\mathfrak{gl}_n(\mathbb{C})$.

$$\bullet \underline{I} = \{1, 2, \dots, n-1\} \quad x \circ A = \begin{pmatrix} 2 & -1 & & \\ -1 & 2 & -1 & \\ & -1 & 2 & \\ 0 & & -1 & 2 \end{pmatrix}$$

$\mathfrak{gl}_n(\mathbb{C})$ est engendré par

$$e_i = E_{i,i+1}, f_i = E_{i+1,i}, i \in I; E_{ii}, i \in I \cup \{n\}$$

$$P = \bigoplus_{i=1}^n \mathbb{C} E_{ii}$$

$$P^\vee = \bigoplus_{i=1}^n \mathbb{Z} E_{ii} \quad \underline{E_{ii}: n = \text{diag}(P_j) \mapsto \lambda_i}$$

$\mathfrak{sl}_n(\mathbb{C})$ est engendrée par $\{ \}$ en tant qu'
algèbres de Lie

$$e_i, f_i \text{ et } h_i = E_{ii} - E_{i+1,i+1}, i \in I.$$

$$\bullet P = \bigoplus_{i=1}^n \mathbb{Z} E_{ii} \subseteq \mathbb{Z}^* - \text{treillis des poids}, P_+ = \bigoplus \mathbb{N} E_{ii}, P_- = -P_+$$

$$P^\vee = \bigoplus_{i=1}^n \mathbb{Z} E_{ii}$$

$$\bullet L(R, E_{ij}) = (\lambda_i - \lambda_j) E_{ij} = (E_i - E_j)/R \quad E_{ij} \Rightarrow \mathfrak{gl}_n(\mathbb{C}) = \left(\bigoplus_{L \in \Phi_-} \mathbb{Z} \right) \oplus \frac{P}{L} \oplus \left(\bigoplus_{L \in \Phi_+} \mathbb{Z} \right), \text{ où}$$

$$\underline{\Phi_+ = \{E_i - E_j | i < j\}} - \text{racines positives}$$

$$\underline{\Phi_- = -\Phi_+} - \text{racines négatives}$$

$$\underline{L_i = E_i - E_{i+1}} - \text{racines simples}, i \in I$$

$$\times \underline{Q = \bigoplus \mathbb{Z} L_i} - \text{treillis des racines}; Q_+ = \bigoplus \mathbb{N} L_i, Q_- = -Q_+$$

B) Algèbre linéaire générale quantique

$$\mathcal{U}_q(\mathfrak{gl}_n) = \mathbb{C}(q) \langle e_i, f_i, i \in I, q^h, h \in P^\vee \rangle / \quad \begin{matrix} q^0 = 1, q^h q^{h'} = q^{h+h'} \\ \text{changement} \\ \text{par rapport} \\ \text{à } \mathcal{U}_q(\mathfrak{sl}_n) \end{matrix}$$

$$q^h e_i q^{-h} = q^{L_i(h)} e_i, q^h f_i q^{-h} = q^{-L_i(h)} f_i$$

$$e_i f_j - f_j e_i = \delta_{ij} \frac{K_i - K_i^{-1}}{q - q^{-1}}, K_i = q^{h_i}$$

$$e_i^2 e_j - (q + q^{-1}) e_i e_j e_i + e_j e_i^2 = 0, i \neq j \quad \text{et idem}$$

$$e_i e_j = e_j e_i, i \neq j$$

pour les f_i

$$\times \underline{\mathcal{U}_q(\mathfrak{sl}_n)} = \text{la sous-algèbre de } \mathcal{U}_q(\mathfrak{gl}_n) \text{ engendrée par les } e_i, f_i, K_i^{\pm 1}.$$

• On peut munir ces algèbres d'une structure de Hopf.

• Elles admettent la décomposition triangulaire $\mathcal{U}_q \cong \mathcal{U}_q^- \otimes \mathcal{U}_q^0 \otimes \mathcal{U}_q^+$.

Ici on va travailler uniquement avec $\mathcal{U}_q(\mathfrak{gl}_n)$.

C) Représentation vectorielle $V(E_I)$:

$$V_1 \xleftarrow[e_1]{f_1} V_2 \xleftarrow[e_2]{f_2} V_3 \dots \xleftarrow[e_{n-1}]{f_{n-1}} V_n \quad \text{poids: } \underline{E_1 \quad E_2 \quad E_3 \quad \dots \quad E_n} \quad \text{i.e. } q^h v_j = q^{E_j(R)} v_j.$$

$$\text{base cristalline: } \underline{B = \boxed{1} \xrightarrow[1]{} \boxed{2} \xrightarrow[2]{} \boxed{3} \dots \xrightarrow[n-1]{} \boxed{n}} \quad \text{c.f. wt}(\boxed{i}) = E_i$$

cette notation provient des Y-diagrammes \underline{P}

④ Catégorie $\mathcal{O}_{\text{int}}^{\geq 0}$: $M \in \text{Rep}(U_0(\mathbb{Z} P_n))$ t. q.

- (1) $\dim_{\mathbb{C}} M < \infty$
- (2) $M = \bigoplus_{\lambda \in P} M_\lambda$ - module de poids
- (3) $\text{wt}(M) \subseteq P_+$
- poids entiers dominants

$P_{++} := \{ \lambda = \lambda_1 e_1 + \dots + \lambda_n e_n \mid \lambda_1 \geq \dots \geq \lambda_n \geq 0 \} =: P_+$
i.e. λ est une partition! notation de Kashiwara

$P_{++} = \bigoplus_{j=1}^n \mathbb{N} \lambda_j$, où $\lambda_j = e_1 + \dots + e_j$ est le poids fondamental

r.mq.: $(d_i, \lambda_j) = \delta_{i,j}$.

Th. 1: $P_{++} \xrightarrow{\text{by}} \text{irreps de } \mathcal{O}_{\text{int}}^{\geq 0} / \alpha$

$$\lambda \leftrightarrow V(\lambda)$$

⇒ $\lambda(h_i) = \lambda_i - \lambda_{i+1} \in \mathbb{N} \Rightarrow V(\lambda)$ est un $U_0(\mathbb{Z} P_n)$ -mod. de \dim^n finie

(2) évident

(3) Soit $M = \sum M_i E_i \in P$ un poids, o.p.s. $M_i \geq \dots \geq M_n$ (τ_i agit comme $(i, i+1)$ sur P);
 $M = \lambda - \sum k_i d_i$, $k_i \in \mathbb{N} \Rightarrow M_i = \lambda_i - k_i$,
 $M_2 = \lambda_2 + k_1 - k_2$
 $M_{n-i} = \lambda_{n-i} + k_{n-i} - k_{n-i}$
 $M_n = \lambda_n + k_{n-i} \geq 0 \Rightarrow M_1 \geq \dots \geq M_n \geq 0$.
 Mod. de \dim^n finie $\Rightarrow \lambda(h_i) = \lambda_i - \lambda_{i+1} \geq 0 \quad \diamond$

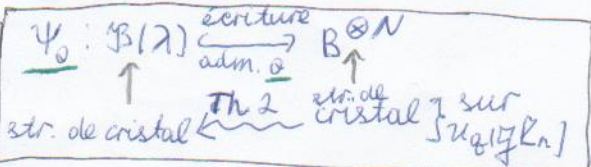
③ Le monde cristallin

On prend un Y-diagramme (gauche) à N cases donné par la partition λ ; n est toujours fixe.

$B(\lambda) := \{Y\text{-tableaux semi-standard de la forme } \lambda\} \xrightarrow{\text{connu}} \text{une base de } V(\lambda; E_i) \in \mathcal{O}_{\text{int}}^{(GL_n)}$

On va retrouver cette correspondance en passant par le monde cristallin.

reps de $U_q(\mathfrak{gl}_n)$,
carré classique



Rmq: Un **cristal** sur $U_q(\mathfrak{gl}_n)$ est un ensemble C muni d'appels avec des conditions de compatibilité qui miment celles des bases cristallines.

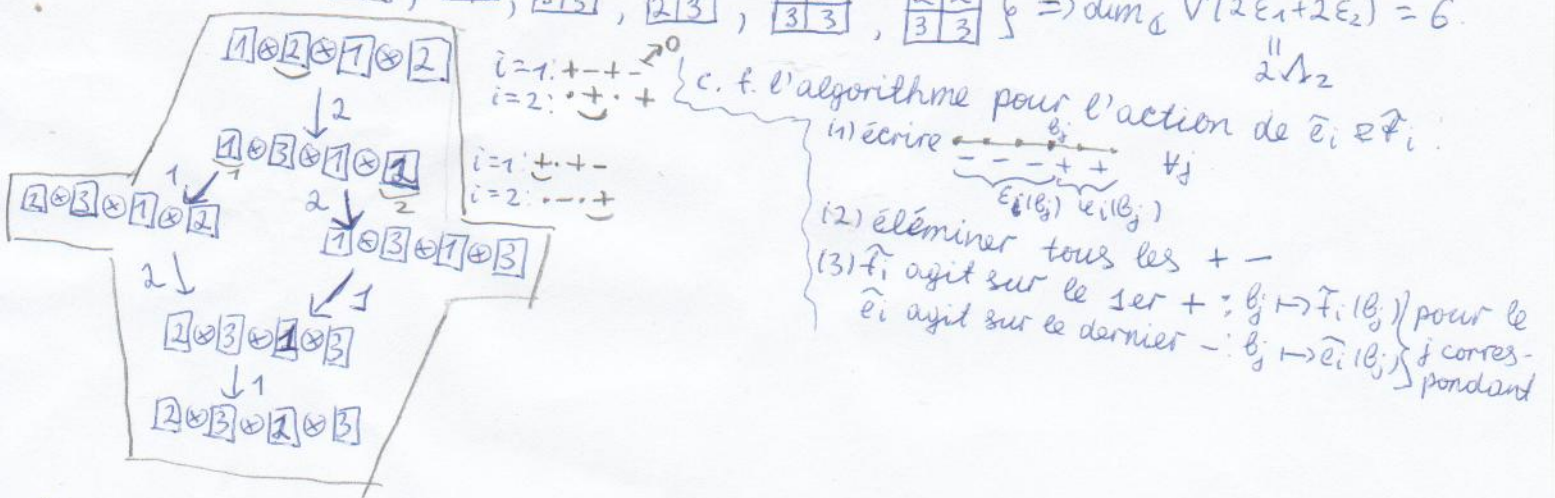
wt: $C \rightarrow P$
 $e_i, f_i : C \rightarrow D\mathbb{H} \leftarrow \omega$
 $\tilde{e}_i, \tilde{f}_i : BH \leftarrow \omega \rightarrow BH \leftarrow \omega$

Th. 2 : (a) $\Psi_0(B(\lambda))$ est stable par \tilde{e}_i et \tilde{f}_i , donc on a effectivement une str. de cristal sur $U_q(\mathfrak{gl}_n)$;

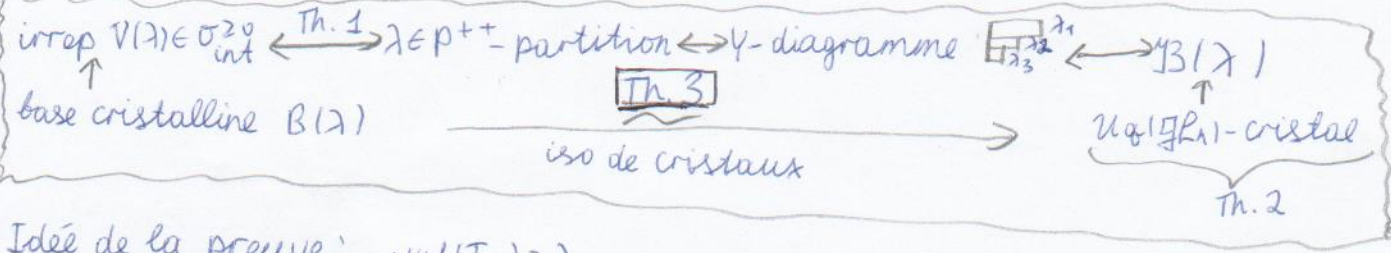
(b) Cette structure induite ne dépend pas de α .

Ex.: $n=3, B = \boxed{1} \rightarrow \boxed{2} \rightarrow \boxed{3}$; écriture japonaise

$\lambda = \boxed{\begin{smallmatrix} 1 & 1 \\ 2 & 2 \end{smallmatrix}}, B(\lambda) = \{ \boxed{\begin{smallmatrix} 1 & 1 \\ 2 & 2 \end{smallmatrix}}, \boxed{\begin{smallmatrix} 1 & 1 \\ 2 & 3 \end{smallmatrix}}, \boxed{\begin{smallmatrix} 1 & 1 \\ 3 & 3 \end{smallmatrix}}, \boxed{\begin{smallmatrix} 1 & 2 \\ 2 & 3 \end{smallmatrix}}, \boxed{\begin{smallmatrix} 1 & 2 \\ 3 & 3 \end{smallmatrix}}, \boxed{\begin{smallmatrix} 2 & 2 \\ 3 & 3 \end{smallmatrix}} \} \Rightarrow \dim_C V(2E_1 + 2E_2) = 6.$



Il nous reste à identifier le cristal obtenu avec la base cristalline d'une représentation.



Idee de la preuve:

$$T_\lambda := \begin{array}{|c|c|c|c|c|c|} \hline & 1 & 1 & 1 & 1 & 1 & \lambda_1 \\ \hline & 2 & 2 & 2 & 2 & 2 & \lambda_2 \\ \hline & \dots & & & & & \dots \\ \hline & n & n & \dots & & & \lambda_n \\ \hline \end{array}$$

$$\cdot w(T_\lambda) = \lambda$$

$\#i: \overbrace{\dots}^{\lambda_i} \Rightarrow \widehat{e}_i T_\lambda = 0 \Rightarrow T_\lambda$ est une source.

Il reste à montrer que c'est la seule source.

Supposons $\exists T \in \mathbb{B}(\lambda)$ t. q. $\widehat{e}_i T = 0 \forall i \in I$ et $T \neq T_\lambda$

Regardons la 1ère ligne où $T \neq T_\lambda$:

$$T = \begin{array}{|c|c|c|c|c|c|} \hline & 1 & 1 & 1 & 1 & 1 & j > k+1 \\ \hline & K & K & K & K & K & \dots \\ \hline & \dots & & & & & 1 \\ \hline \end{array} \quad \#i > k+1, \widehat{e}_i T = 0 \Rightarrow \boxed{j} \neq - \Rightarrow j+i+1 \geq k+1, \text{ contradiction.}$$

Ex.: $B(\lambda_j) \leftrightarrow \{ \begin{array}{|c|} \hline a_1 \\ \hline a_{i,j} \\ \hline a_{i+1,j} \\ \hline \dots \\ \hline a_n,j \\ \hline \end{array} \mid 1 \leq a_1 < a_2 < \dots < a_j \leq n \},$ où f_i augmente $a_p = i$ si un tel p existe et $a_{p+1} > i+1.$

Rmq: D'autres opérations sur les Y-tableaux possèdent une interprétation en termes de cristaux, e.g.:

- insertion par ligne/par colonne
- jeu de taquin

④ Règle de Littlewood-Richardson via les Y-diagrammes.

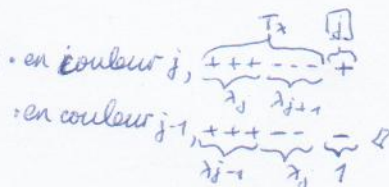
Pour deux partitions $\lambda, \mu \in P^{++}$, on cherche toutes les sources de $B(\lambda) \otimes B(\mu)$, muni de la structure de produit tensoriel des cristaux du théorème 2.

Cas 1: $\mu = \epsilon_1$, $B(\mu) = B$

$$\{ \text{sources} \} = \{ T_\lambda \otimes \boxed{j} \mid \lambda_{j-1} \geq \lambda_j + 1 \text{ ou } j=1 \} \Leftrightarrow \text{l'algorithme donne:}$$

$$\Rightarrow B(\lambda) \otimes B \cong \bigoplus_{\substack{j \in B \\ \lambda_j \geq 1}} B(T_\lambda \boxed{j})$$

• on ajoute une case dans la j -ème ligne
si cette case est ajoutable
• = 0 sinon



Ex: $n=3$: $B(\boxed{1}) \otimes B(\boxed{1}) \cong B(\boxed{11}) \oplus B(\boxed{1})$ $\Rightarrow V(2\epsilon_1 + \epsilon_2 + \epsilon_3) \otimes V(\epsilon_1) \cong V(3\epsilon_1 + \epsilon_2 + \epsilon_3) \oplus V(2\epsilon_1 + 2\epsilon_2 + \epsilon_3)$
 $n=4$: $\boxed{11} - \boxed{11} \cong \boxed{11} \oplus B(\boxed{1})$ $\oplus V(2\epsilon_1 + \epsilon_2 + \epsilon_3 + \epsilon_4)$ si $n \geq 4$,

Cas 2: $\mu = \sum_{i=1}^n \mu_i \epsilon_i$, $\mu_1 \geq \dots \geq \mu_n$; on fixe une écriture admissible.

$$\Rightarrow B(\lambda) \otimes B(\mu) \cong \bigoplus_{\substack{\boxed{11} \otimes \dots \otimes \boxed{1N} \in B(\mu)}} B(T_\lambda \boxed{j_1} \boxed{j_2} \dots \boxed{j_N})$$

↑ on ajoute les N cases
une par une si possible

Ex: $n=3$, $\lambda = \boxed{1}$, $\mu = \boxed{11}$

$$B(\mu) = \{ \boxed{11}, \boxed{12}, \boxed{13} \text{ etc.} \}$$

dans une écriture quelconque: $\boxed{1} \otimes \boxed{1} \otimes \boxed{1}$, $\boxed{1} \otimes \boxed{1} \otimes \boxed{2}$, $\boxed{1} \otimes \boxed{2} \otimes \boxed{1}$ etc.

• $\boxed{1} \xrightarrow{\boxed{11}} \boxed{1} \otimes \boxed{1} \otimes \boxed{1}$

• $\boxed{1} \xrightarrow{\boxed{12}} 0$

• $\boxed{1} \xrightarrow{\boxed{13}} \boxed{1} \xrightarrow{\boxed{11}} \boxed{1} \otimes \boxed{1}$

etc.

$$B(\boxed{1}) \otimes B(\boxed{11}) \cong B(\boxed{111}) \oplus B(\boxed{1}) \oplus B(\boxed{11})$$